

- 1989, 555-568.
- 2 江浩. 骨与关节 MRI [M]. 上海: 上海科学技术出版社, 1999. 412-413.
- 3 Smith SR. Magnetic resonance imaging in bone marrow disorder [J]. Imaging, 1993, 5(1): 39-47.
- 4 Lewis S, Wainscoat JS, Moor NR, et al. Magnetic Resonance Imaging in Myelodysplastic Syndromes [J]. The British Journal of Radiology, 1995, 68(806): 121-127.
- 5 Negendank W, Weissman D, Bey TM, et al. Evidence for Clonal Disease by MRI in Patients With Hypoplastic Marrow Disorders [J]. Blood, 1991, 78(11): 2872-2879.
- 6 KE Jensen, H Nielsen, C Thomsen, et al. In vivo measurements of

the T1 relaxation processes in the bone marrow in patients with myelodysplastic syndrome [J]. Acta Radio, 1989, 30(4): 365-368.

- 7 Takagi S, Tanaka O, Miura Y. Magnetic Resonance Imaging of Femoral Marrow in Patients with Myelodysplastic Syndromes of Leukemia [J]. Blood, 1995, 86(1): 316-322.
- 8 浦权, 唐超生, 周润华, 等. 骨髓异常增生综合征骨髓组织病理学的初步观察 [J]. 中华内科学杂志, 1987, 26(6): 327-329.
- 9 Tricot G, De Wolf Poeters C, Hendrickx B, et al. Bone marrow histology in myelodysplastic syndromes and comparison with bone marrow smears [J]. Br J Haematol, 1984, 57(3): 423-430.

(2001-05-05 收稿)

## 腹膜后巨大神经纤维瘤术后恶变一例

常东胜 马福才 王永强 张晓改 陈建华 崔滨 韩建生

【中图分类号】R735.4 【文献标识码】D 【文章编号】1000-0313(2002)02-0175-01

我院近期收治了 1 例少见的巨大神经纤维瘤, 术后 2 年复发并且发生恶变, 现报道如下。

**病例资料** 患者, 女, 70 岁, 近日发现腹部肿块逐渐增大, 腹部稍隆, 触及表面光滑, 不活动, 有压痛, 食欲不振, 慢性病容, 轻度消瘦, 体温 36°C。患者曾于 2 年前腹部占位手术, 术后病检为神经纤维瘤。

**B 超检查:** 于左侧腹腔探及一巨大实质性肿物边界清, 内回声不均匀, 下达髂嵴, 大小为 16.7cm × 10.5cm。B 超诊断: 腹腔内占位, 以畸胎瘤可能性大。

**CT 检查:** 左侧腹部见一 11.0cm × 13.0cm 巨大软组织密度肿块, 边缘清晰光整, 内部有少许低密度灶。CT 值在 5~11HU 之间。肿块内下缘压迫左肾及腹主动脉, 小肠受压向右前方移位。CT 诊断: 后腹膜占位, 性质待定。

**手术经过:** 左肾切口(上至十二肋端下至脐髂中点处)长约 25cm, 肿物为实质性, 边界清, 大小约为 25cm × 20cm, 与肾脏结肠及左脊柱旁紧密粘连。在肿瘤后上方附有一实质性肿物约肾脏大小, 一并游离切除。靠近椎体左旁肿物基底宽大有少部分残留。术后诊断: 左上腹膜后巨大肿瘤。

**病理诊断:** 左上腹膜后低度恶性神经纤维瘤, 在肿物后上方附着的肾形肿物为神经纤维瘤。

**讨论** 原发于腹膜后肿瘤较少见, 早期由于发病隐蔽, 临床缺乏特异症状和体征。多数检查时肿物已相当大。本例见腹部巨大肿块, 对肾脏和腹主动脉产生明显压迫, 定位比较容易, 由于本病缺乏影像上的特异性, 发病又少见, 所以在定性上比较困难。该患者术后短期复发恶变, 并且在恶性肿瘤上又附有一良性神经纤维瘤, 实属少见。

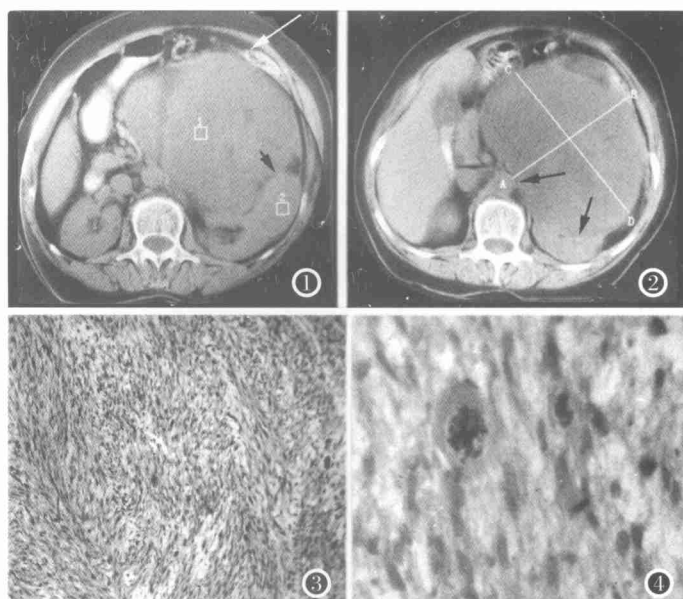


图 1 左肾旁见一椭圆形肿物(短箭), 同右前方巨大肿物(长箭)有包膜分隔。病检为良性神经纤维瘤。

图 2 巨大肿物为椭圆形, 密度不均边缘光滑, 对肾和腹主动脉产生压迫(箭)。

图 3 低度恶性神经纤维瘤, 肿瘤以梭形细胞为主, 细胞丰富排列紊乱, 细胞之间可见胶原纤维, 细胞有异型并可见核分裂像。

图 4 系图 3 的一块放大图片, 可见明显的病理性核分裂像。

(2001-04-25 收稿)

作者单位: 045100 山西省, 孟县人民医院 CT 室  
作者简介: 常东胜(1964~), 男, 山西人, 医师, 主要从事螺旋 CT 的临床研究、消化道及骨肿瘤研究。